

高等学校教学用書

电子学

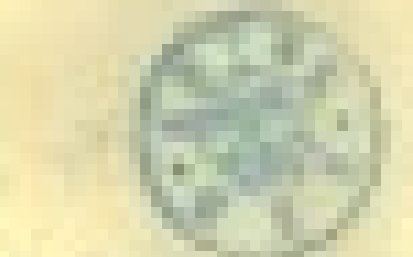
下册

H. A. 卡普佐夫著

高等教育出版社

卷之三

子



高等学校教学用書



电 子 学
下 册

H. A. 卡普佐夫著
樓 格 尹道乐譯
水永安朱宜
鮑家善校

高等教育出版社

本書系根据苏联国立科学技术理論書籍出版社 (Гостехиздат) 出版卡普佐夫 (Н. А. Капцов) 著的“电子学” (Электроника) 1956 年版譯出。原書經苏联高等教育部审定为国立大学無綫电物理專業电子学課程的教科書。

本書共15章，中譯本暫分为兩冊出版，下冊包括第 9 章至 15 章，內容是繁流放電、輝光放電、弧光放電、火花放電与電暈放電、大氣中的電現象，气体放電的輻射等等，書末附录圖表 10 种。中文譯本可作为綜合性大学物理系無綫电物理及电子物理專門化有关課程的教学参考書，工業大学电真空專業的学生亦可参考。

下冊的譯者是樓格、尹道乐、水永安、朱宜等同志，譯稿曾由鮑家善同志校訂一遍。

电 子 学

下 册

H. A. 卡普佐夫著

樓格 等譯

高等 教育 出 版 社 出 版 北京琉璃廠 170 号

(北京市書刊出版業營業許可證出字第 054 号)

京华印書局印刷 新華書店總經售

統一書號 13010·857 開本 850×1168 1/32 印張 7 1/2 / 16 字數 178,000 印數 0001—2,500
1957 年 11 月第 1 版 1967 年 11 月北京第 1 次印刷 定價 (8) ￥0.90

目 录

第九章 繁流放电	229
§ 60 电子繁流底理論(229) § 61 系数 α 与 e 和 p 的关系(235) § 62 斯托列托夫效应与斯托列托夫常数(242) § 63 引燃底推迟現象和放电底形成底时间(243) § 64 考慮空間电荷作用的繁流放电理論(246) § 65 放电底引燃电压与各种条件的关系(250) § 66 長管中的放电引燃(255) § 67 高真空底击穿(258) § 68 繁流放电底过渡形式(259) § 69 輝光放电底特征和区域(260) § 70 輝光放电底伏特安培特性曲綫和电位分布(262) § 71 輝光放电底陰極部分(262) § 72 輝光放电底陰極区内的基本过程(267) § 73 陰極濺射(270) § 74 輝光放电底陽極部分(274) § 75 輝光放电底骨干, 陽極区(275) § 76 紹狀的陽極区(279) § 77 輝光放电底器件(282)	
第十章 輝光放电底等离子区	285
§ 78 等离子区(285) § 79 探針特性曲綫法(288) § 80 等离子区底張弛時間和張弛距离(298) § 81 在等离子区中电子按能量的分布情况(299) § 82 等离子区底消电离現象(309) § 83 气体放电等离子区底理論(310) § 84 等离子区内的电振动(317) § 85 人工加热陰極的放电現象(319) § 86 含气兩極管和閘流管(322)	
第十一章 弧光放电	327
§ 87 B. B. 彼特洛夫發現电弧。弧光放电底特征及各种形态(327) § 88 弧底形成(329) § 89 陰極光斑。弧光放电底外形和它的各部分(331) § 90 弧光放电时的电位分布和伏特安培特性曲綫(332) § 91 弧光放电各部分底溫度与辐射(335) § 92 以电弧产生不衰減的振蕩(337) § 93 在高压或超高压下的弧光放电底陽極区(341) § 94 弧光放电弧綫底稳定性(346) § 95 雅布洛契柯夫灯(47) § 96 电弧爐和弧焊接(349) § 97 汞整流器(350)	
第十二章 火花放电及电暈放电	354
§ 98 火花放电底一般情形和各种类型(354) § 99 火花放电中的基本過程和条帶底理論(357) § 100 火花放电底續續阶段(269) § 101 閃電的特点和研究方法(370) § 102 球形閃電(376) § 103 火花放电器和触發管, 格拉果列娃-阿尔卡捷娃短电磁波大規模發射器(377) § 104 电暈放电底發生条件和一般圖景(378) § 105 电暈放电底电場分布和伏特安培特性曲綫(381) § 106 双極电暈放电(386) § 107 电暈放电中的断續現象(387) § 108 电暈放电过渡到火花放电或弧光放电(389)	

第十三章 高頻放电	392
§ 109 在高頻和低頻交流电情形下的放电(392)	§ 110 环形無極放电(394)
§ 111 高气压下的高頻放电(394)	§ 112 高頻放电理論(401)
放电(413)	§ 113 脉冲
§ 114 天綫換向器底放电器(413)	
第十四章 地球大气層中的電現象	419
§ 115 电离層(419)	§ 116 地球大气層的下層中的电場和电流(423)
雷雨理論(426)	§ 117
	雷光(428)
第十五章 气体放电底輻射	430
§ 119 气体在放电时的發光特性(430)	§ 120 光譜綫系(431)
中电子能級底矢模型和原子底能态底名称(433)	§ 121 原子
項(441)	§ 122 分子光譜和分子的
§ 123 气体放电底參量和其輻射之間的关系(443)	§ 124 放电中
气体底余輝(448)	气体放电的光源(453)
附录 (某些量底表格与插圖)	457
I. 电子由金屬和周期表中其他化学元素逸出时的功函数(以电子伏特为單位)(458)	II. 某些原子和分子底电离能(以电子伏特为單位)(458)
III. 某些金屬(在室溫下)的表面光电效应闊(以微米为單位)(461)	IV. 电子在某些气体中底迁移率 K_e (單位为 $\frac{\text{厘米}/\text{秒}}{\text{伏特}/\text{厘米}}$, 当 $t=0^\circ\text{C}$ 且 $P=1$ 毫米汞柱高时)(461)
V. 共振光譜綫底激發電位 U_{pe3} , 亞穩状态底激發電位 U_{met}	与某些气体或蒸汽底电离位 U_i (U_{pe3}, U_{met}, U_i 以伏特为單位, λ_0 以 \AA 为單位)(461)
VI. 根据薩加公式 $\left(\frac{x^2}{1-x^2} p = 1.33 \times T^5 / e_e - \frac{e U_i}{k T} \right)$ 得出的	气体底热电离度 x 与溫度的关系(462)
VII. 空气的体电离系数 α 底實驗值(463)	VIII. 电子在气体中的自由程(463)
IX. Д. И. 門德列也夫底元素周期表 (466)	X. 根据气体放电中所發生的基本过程对它們的各种类型与区域进行分类(468)

第九章 繁流放电

§ 60. 电子繁流底理論 气体放电底第一个定量的理論是在本世紀初由湯生所提出的电子繁流理論。这个理論适用于某些类型的气体放电，或某些气体放电的区域；在这些情况中，电子受電場作用而發生的定向运动，比它們的不規則的热运动更占优势。湯生引入了三个系数来表征气体底电离过程。第一个系数是电子对气体底体积电离系数 α ；它表示：由于与气体粒子的碰撞，一个电子在沿着陰極到陽極的方向的每一厘米內，所形成的自由电子的数目，即与此相等的正离子数目。

除了湯生一般地对帶負电粒子所用的系数 α 外，他还引入了第二个系数——正离子底电离系数 β ；它等于一个正离子在从陽極到陰極的每一厘米內，所發生的电离次数。第三个系数 γ ，我們在第三章 § 25 中已討論过。它表征在陰極上的表面电离，即表示平均每一个击中陰極的正离子使陰極放出的电子数目。

在放电时，由于陰極表面上發生的基本过程底作用而引起陰極放出电子的一切过程，总称为 γ 过程。热电子發射和冷陰極發射不在 γ 过程之列。

对于放电底机构，近代的电子繁流理論描述如下。为了要得到放电，我們必須用外电离因素来产生自由电子。这个过程可以在有气体底整个空間中进行，也可以只發生在陰極上。我們究竟采用这两种电离形式的哪一种，虽然对于理論底最終結論而言是無关紧要的，但是为了使我們的討論十分明确起見，此后我們假設，由于陰極表面受到了短波輻射的照射，电子从其表面逸出；并以 n_0 表示在一秒钟內每平方厘米陰極面發出的电子数，以 i_0 表示

与 n_0 相当的陰極之電子流密度。

每個電子在前往陽極的路徑上電離了氣體粒子。由此釋放出來的電子也向着陽極運動，而且在碰撞時，它們也會把氣體粒子分成正離子和電子。這樣一來，向陽極運動的電子數目就隨着離陰極的距離而逐漸增加；於是所謂的電子繁流現象便發生了。在相同的電場強度下，陰極到陽極的距離越大，那末，從陰極到陽極的繁流增殖越多。

在圖 92 上，令 X 軸垂直於陰極和陽極，並假定這兩個電極是互相平行的平面。

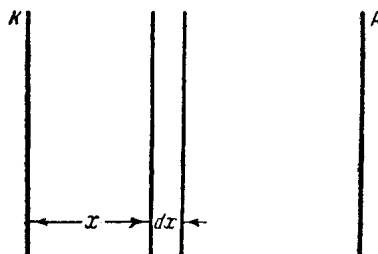


圖 92 推導電子繁流增殖規律的圖。

現在我們來討論電子在氣體層 dx 里的電離情況。設每單位面積上有 n 個電子從陰極飛入這氣體層。因為一個電子在路徑上的一厘米內造成的電離次數為 α ，那末，每個電子在路徑 dx 上所產生的平均電離數為 αdx ，所以飛入這氣體層的 n 個電子就產生了 $n\alpha dx$ 次電離。這樣，在 dx 路徑內，繁流的電子數 n 的增長為

$$dn = n\alpha dx. \quad (60.1)$$

將上式分離變數後再積分，並注意到當 $x=0$ 時，電子數 $n=n_0$ ，我們就得到在均勻電場中繁流增長底規律

$$n = n_0 e^{\alpha x} \quad (60.2)$$

以及電子流密度增長底規律

$$i = i_0 e^{\alpha x}, \quad (60.3)$$

式中， x 為從陰極到所研究的點底距離。

系數 α 是電場強度的函數。因此，在不均勻電場中， α 隨 x 不同而不同。若積分時考慮了這一點，那末，我們得到在不均勻電場

中繁流增長底規律為：

$$n = n_0 e^{\int_{r_0}^r \alpha dr}. \quad (60.4)$$

坐标 r 是沿着繁流推進底方向^①。

當陰極和陽極間的距離為 d 時，就有 $n_0 e^{\alpha d}$ 個電子飛到陽極。繁流底全部電子所產生的電離次數，亦即它們產生的正離子數等於

$$n_0 e^{\alpha d} - n_0 = n_0 (e^{\alpha d} - 1), \quad (60.5)$$

而在不均勻電場中為：

$$n_0 \left(e^{\int_{r_0}^d \alpha dx} - 1 \right). \quad (60.6)$$

在極大多數的情況中，由正離子引起的體積電離比由電子引起的體積電離小得多，也比 γ -過程在陰極上引起的電離都小得多。因之，我們忽略正離子底體積電離作用，即令 $\beta = 0$ 。

只有在很強的電場中，我們才應該考慮到由於正離子底碰撞而引起的電離作用。至於負離子，當它們在強的電場中與中性的氣體粒子相撞時，它們互相作用的結果是使負離子分成中性粒子和電子，而不是使中性粒子電離，因為，使電子離開負離子所需的功要比電離中性粒子的功小很多。同時，脫離了負離子的自由電子，在它與氣體中性粒子重新結合起來以前，是可以有電離作用的。在負電性的氣體和強電場底情況下，繁流增長底規律 (60.2) 是考慮了這個現象的，這時系數 α 有着概括的意義。我們也應該考慮，由於氣體粒子被激發到亞穩狀態，而引起相當數目具有電離

^① 在圓柱坐標和球形坐標中，坐標 r 底方向與半徑一致。在一般情況中，繁流底軌跡和電力線並不一致，而問題就變得十分複雜，尤其是在有些情況中，我們不能，像湯生最初的理由那樣不考慮到空間電荷使電場畸變的作用。

作用的第二类非弹性碰撞。不論在用到系数 α 的理論公式中，还是在下述的测定 α 底实验方法中，系数 α 同样也考虑了这些碰撞底效果。

由电子繁流而形成的 $n_0(e^{\alpha d} - 1)$ 个正离子撞击阴极，使阴极放出 $\gamma n_0(e^{\alpha d} - 1)$ 个新的电子。这样一来，从阴极跑出来的电子将不止由外致电离产生的 n_0 个，而有更多的数目。由于这个原因，与阴极相撞的正离子数也将增大。令 n_1 表示在稳定状况下单位时间內每单位阴极表面放出的电子总数。因为，这个数目是由靠外电离因素發生的 n_0 个电子和靠 γ -过程使阴极放出的 $\gamma n_1(e^{\alpha d} - 1)$ 个电子合成的，所以

$$n_1 = n_0 + n_1 \gamma(e^{\alpha d} - 1). \quad (60.7)$$

另一方面，若每单位阴极表面放出 n_1 个电子，那末，由(60.2)可知到达阳极的电子数为

$$n_a = n_1 e^{\alpha d}. \quad (60.8)$$

从(60.7)和(60.8)兩式得出：

$$n_1 = \frac{n_0}{1 - \gamma(e^{\alpha d} - 1)}, \quad (60.9)$$

$$n_a = \frac{n_0 e^{\alpha d}}{1 - \gamma(e^{\alpha d} - 1)}. \quad (60.10)$$

因为，阳极上的全部放电的电流是由电子荷載的（通常阳极不放出正离子），故以电子底电荷乘之，即得非自持的繁流放电底电流密度

$$i = i_0 \frac{e^{\alpha d}}{1 - \gamma(e^{\alpha d} - 1)}. \quad (60.11)$$

在已稳定的状况下，在两个电極之間的空間內，是不会繼續积累空間电荷的。因此，在放电区域內各处的电流密度 i 应該是一样的。在每一点上这个总的电流密度等于电子流密度 i_e 与离子流密度 i_p 之和

$$i = i_e + i_p. \quad (60.12)$$

在放电区域中不同地点的 i_e 和 i_{p_k} 都是不同的；从陰極到陽極 i_e 在增長，从陽極到陰極 i_{p_k} 在增長。

令 i_{e_k} 和 i_{p_k} 表示在陰極上的电子流密度和离子流密度。我們知道 $i_{e_k} = en_1$ ，又按系数 γ 底定义，可知：

$$\frac{i_{e_k}}{i_{p_k}} = \gamma \quad (60.13)$$

由(60.13)及(60.12)，即得

$$i_{e_k} = \gamma i_{p_k} = \gamma(i - i_{e_k}) = i \frac{\gamma}{1 + \gamma}. \quad (60.14)$$

若有使均匀电場發生畸变的空間电荷存在，則(60.11)应改为下列的形式：

$$i = i_0 \frac{e^0 \int_a^d \alpha dx}{1 - \gamma \left(e^0 \int_a^d \alpha dx - 1 \right)}. \quad (60.15)$$

如果我們把 γ 了解为一个包括了由正离子引起的表面电离和体积电离的系数，那末(60.11)和(60.15)式的数值就大于在 $\beta = 0$ 情况下所得之解。

湯生在最初推算非自持放电底电流式子时，仅考虑了系数 α 和 β ，而忽略了系数 γ 所指的那些过程。他所得到的式子是

$$i = i_0 \frac{(\alpha - \beta)e^{(\alpha - \beta)d}}{\alpha - \beta e^{(\alpha - \beta)d}}. \quad (60.16)$$

在解問題时，若同时考慮到在陰極上的 γ 过程和正离子使气体粒子电离的作用，我們就得到下式

$$i = i_0 \frac{(\alpha - \beta)e^{(\alpha - \beta)d}}{(1 + \gamma)\alpha - (\alpha\gamma + \beta)e^{(\alpha - \beta)d}}. \quad (60.17)$$

將(60.17)中的 β 等于零，我們就得到(60.11)；令 γ 为零，即得(60.16)公式。

如果再忽略掉(60.11)中的系数 γ , 或者(60.16)中的系数 β , 我們就得到前面得出的繁流增長規律 $i = i_0 e^{\alpha d}$, 这个式子不包括正离子的电离作用以及在陰極上所發生的过程。

在稳定的自持放电中, 我們無需借外致电离底作用来使陰極放出电子。

因此, 在自持放电情况下, (60.7)中 n_0 的值必須为零; 再把 n_1 銷去后, (60.7)即成为

$$\gamma(e^{\alpha d} - 1) = 1. \quad (60.18)$$

(60.18)是自持繁流放电底存在条件。系数 α 和 γ 是电場强度 E 底函数, 因此, 当电極底几何形狀和位置固定不变时, 它們就是陰極和陽極間电位差 U 底函数。当其他的条件不变时, α 和 γ 是随着电压 U 增大而增大, 故 $\gamma(e^{\alpha d} - 1)$ 也随着电压 U 而增大。 $\gamma(e^{\alpha d} - 1)$ 等于 1 时的电压值 U 称之为自持放电底引燃电压。根据这种看法, (60.18)是由非自持放电过渡到自持放电的条件。

但是, (60.18)这个式子既沒有告訴我們自持放电时的电流密度, 也沒有說明这时的电位分布情况。湯生底理論只告訴我們自持放电底原則; 在这个理論的原始形式里, 我們不能得到任何更进一步的了解。

有时我們不能忽視由正离子底碰撞而使气体粒子电离的作用。在解决这种問題时, 同时考慮到系数 γ 和系数 β , 因此, (60.18)为下面的式子所代替

$$(1 + \gamma)\alpha - (\alpha\gamma + \beta)e^{(\alpha-\beta)d} = 0. \quad (60.19)$$

若將上式中的 γ 忽略不計, 則得

$$\alpha - \beta e^{(\alpha-\beta)d} = 0, \quad (60.20)$$

这就是湯生最初用来作为自持放电底引燃条件。

(60.19), (60.18), (60.20)三个稳定条件可以写成相同的形式, 即

$$\left. \begin{aligned} \frac{(1+\gamma)\alpha}{\alpha\gamma + \beta} &= e^{(\alpha-\beta)d}, \\ \frac{1}{\gamma} &= e^{\alpha d} - 1, \\ \frac{\alpha}{\beta} &= e^{(\alpha-\beta)d}. \end{aligned} \right\} \quad (60.21)$$

假如以 γ 来代表 $\frac{\beta}{\alpha}$ ，那末当我们可以忽略 β （当它与 α 或 $\gamma\alpha$ 相比时）、忽略 γ （当它与 1 相比时）、忽略 1（当它与 $e^{\alpha d}$ 相比时）的时候，则(60.21)的三个式子均变成

$$\frac{1}{\gamma} = e^{\alpha d}. \quad (60.22)$$

这就告诉我们在 $\frac{E}{p}$ 比值底很广的范围内，(60.21)的三个式子都能很好地说明我们所研究的现象。在所有的实际情况中，我们可以利用(60.11)式来求非自持繁流放电底电流强度，同时还可以从放电底稳定条件(60.18)式出发，研究在电子定向运动占优势的放电区域底理论。在不均匀电场中，这个放电的稳定条件为：

$$\gamma \left(e^{\int_0^d \alpha dr} - 1 \right) = 1. \quad (60.23)$$

§ 61. 系数 α 与 E 和 p 的关系 圖

93 上所示的仪器是用来测定系数 α 的。在比較粗的放电管里，放入平面的陰極 K 和平面的陽極 A ；可以用某种不影响真空的裝置来改变兩極之間的距离，并且可以用測高仪来測量它。紫外光綫透

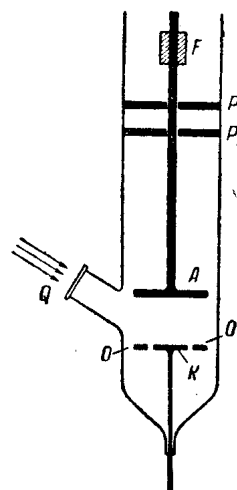


圖 93 測系数 α 的仪器
底圖示。

K 为陰極， A 为可移动的陽極，
 O 保护环， Q 水晶窗， P_1 及 P_2 为固定陽極方向的架子， F 是利用磁場來移动陽極的鐵柱。

过水晶小窗 Q 射到陰極上。当陰極与陽極間的距離 x 改变时，我們調節加在陰極和陽極上的电位差，使电場强度 E 不变。

在电場强度不变的条件下，我們測量在不同 x 的数值时發生的电流。以距离 x 为横坐标，并以 $\ln \frac{i}{i_0}$ (i_0 是从陰極放出的光电流) 为縱坐标，我們得到圖 94 上的直線 OA 和曲綫 AB 。直線 OA

代表某一种放电情况；在这种放电时，由于繁流而产生的正离子的数目和激發原子的数目比較小，所以可以不考慮在陰極上的过程和空間电荷，并且可以假設 $n_1 = n_0$ 。在这情况下的电流即可用(60.3)式来表示。取了对数值后，即得直線方程式：

$$y = \ln i = \ln i_0 + \alpha x. \quad (61.1)$$

系数 α 底值等于綫段 OA 傾斜角底正切。至于曲綫部分 AB 。我們已經指出：不仅正离子底体积电离作用或 γ 过程会使得这个曲綫部分出現（如果假設 $\gamma = \frac{\beta}{\alpha}$ ，这两种作用过程都可以引到同样的曲綫），还有空間电荷使电場發生畸变的作用也会使得这种曲綫部分出現。實驗証实了这个結論。

当起始的光电流 i_0 在减小（就是使陰極底照度減小）时，曲綫段 AB 底弯曲程度就会改变，最后一直改变到这个改变停止，一直改变到弯曲底程度和陰極底照度沒有关系。当达到这个放电情况时，我們从圖 94 的曲綫部分，可以求出系数 γ 底值。

湯生曾經嘗試把系数 α 和 β 与电子和离子底运动学联系起来。他的結果可以叙述如下：

为了使問題簡化起見，我們忽略电子底不規則的热运动，它比

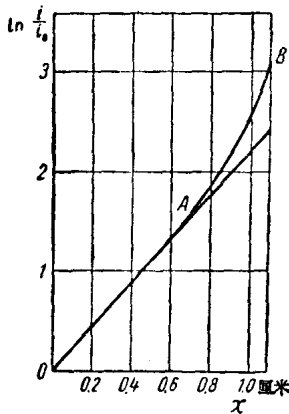


圖 94 曲綫

$$\ln \frac{i}{i_0} = f(x).$$

电子在电场作用下的定向运动小得多。在均匀电场中，电子与气体粒子碰撞后，到另一次碰撞前，它沿一直线运动。

设 λ_e 为在气体中电子的平均自由程。当电子走了一厘米路程时，它与气体分子碰撞的次数为 $N = \frac{1}{\lambda_e}$ 。在这些碰撞中，只有电子的速度等于或大于相当于气体电离电位 U_i 的速度的那些碰撞，才能使气体粒子电离。若电子在场强为 E 的电场中运动，那末，要得到相当于电离电位的速度，电子必须跑过满足下式的自由程 λ_i ，

$$E\lambda_i = U_i. \quad (61.2)$$

电子在一厘米的路程内发生的 N 次碰撞中，只有 $N e^{-\frac{\lambda_i}{\lambda_e}}$ 次的电子自由程大于 λ_i ，在这时它才能使气体粒子电离。为了计算在气体中一个电子在一厘米路程内所发生的电离次数 α ，我们应该把电离作用的几率乘以 $N e^{-\frac{\lambda_i}{\lambda_e}}$ ，因为不难得每一次碰撞都发生电离作用。然而，湯生为了使问题简化，他假定，当 $\lambda_e > \lambda_i$ 时，每次碰撞都发生电离作用。此外，湯生还忽略了使气体粒子激发的碰撞，并且假定在每次非弹性碰撞时，电子便失去了它所积累的全部动能。第一个假定使我们得出

$$\alpha = N e^{-\frac{\lambda_i}{\lambda_e}}. \quad (61.3)$$

按(61.2)用 $\frac{U_i}{E}$ 来代替 λ_i ，又用 $\frac{1}{N}$ 代替 λ_e ，即得

$$\alpha = N e^{-\frac{NU_i}{E}}. \quad (61.4)$$

设电子在单位压强下每单位路程内的碰撞次数为 N_0 ，并注意到碰撞次数是与压力成比例的，我们就可以写出

$$\frac{\alpha}{p} = N_0 e^{-\frac{N_0 U_i}{E/p}}. \quad (61.5)$$

(61.5)式告訴我們 α 有這樣的性質，就是 $\frac{\alpha}{p}$ 的比值並不單是 E 的函數，亦不單是 p 的函數，而是 $\frac{E}{p}$ 的比值底函數。

雖然以上所述的是系數 α 底近似理論，然而實驗證明這個原則總是正確的。它可以用下列的普遍式子來表示

$$\frac{\alpha}{p} = f\left(\frac{E}{p}\right), \quad (61.6)$$

其中 f 是未確定形式的函數。

系數 γ 是正離子在陰極前面每一段自由程中所獲得的平均能量的函數；因此，由於這個平均值是與 $\frac{E}{p}$ 成比例的，我們即可設

$$\gamma = f_1\left(\frac{E}{p}\right). \quad (61.7)$$

利用(61.6)式及(61.7)式，并假定在均勻場 $E = \frac{U}{d}$ 中，我們就可以把自持放電底發生條件(60.18)寫成下列的形式

$$f_1\left(\frac{U_3}{pd}\right)\left(e^{f\left(\frac{U_3}{pd}\right) \cdot pd} - 1\right) = 1. \quad (61.8)$$

公式(61.8)告訴我們，氣體放電底引燃電壓 U_3 是 pd 乘積底函數，而不單是 p 的函數，亦不單是 d 的函數。

由此可見，在兩個放電管中（它們的電極是平面，且所用的氣體是一樣的），若氣壓與電極間距離的乘積相等，則兩者的引燃電壓亦相等。在湯生理論發表以前，這個規律就已經被實驗確立了，並稱之為帕邢(Paschen)定律。

帕邢定律不適用於大的壓力和大的電極距離，不過，這時的放電已經不是繁流放電了。在非均勻電場中，這個定律可推廣如下：

“設有兩放電管，其電極的形狀和幾何的位置是相似的，而兩管內的氣壓與放電間隔底線性大小成反比，那末它們的引燃電壓是相等的”。

這個定律是氣體放電同比定律底特殊情況；按照同比定律，在

兩個相似的放电中，若电压相等，則电流密度也相等。兩個相似的放电，在下列情况中才会發生，在这兩放电区域中相对应的各点上，电子走了一个自由程时，由于电場之作用电子能量增長的平均值是相等的；因为，当一个放电过渡到另一个与它相似的放电时，在放电区域中相对应的各点上，电場强度 E 增加多少倍，电子底平均自由程 λ_e 就减小多少倍。在兩個相似的放电中，在各相对应点上，电子能量的分布情况是一样的。

从同比定律出發，在許多情況中，我們可以得到关于电流的、关于在相对应点上气体电离程度的以及关于其他問題的定量結果。

如果当电子与原予以及电子与分子作非彈性碰撞时，我們不仅注意到电离底过程和激發底过程，而且还要考虑其他的基本过程；那末，經過仔細的觀察我們發見，在下列的过程存在时，仍有放电底相似性；这些基本过程为：电子和离子底扩散过程；負离子底形成过程；在高气压时气体体积中正負离子底互相复合現象；在器壁表面上和电極表面上的复合現象；由于正离子及亞稳原子底作用使陰極(其功函数相等)放出电子的过程，以及当混合气体对主要气体的百分濃度比相等时，第二类碰撞所引起的电离过程等。另一方面，在下列的情况时，就沒有放电底相似性，这些情况就是：在漸次电离过程中，若气体体积里正离子和电子有显著的互相复合現象；至于在低气压下，如果气体体积里有正負离子底复合現象存在，也不会發生放电的相似性。

帕邢定律(气体放电中同比定律底特殊情况)在實驗上被証实就說明了，当繁流放电从不自持的状态过渡到自持的状态时，在氣体内正离子与电子底复合現象以及漸次电离現象不起什么重要的作用。

虽然(61.5)式引出了同比定律，但是用已知的 U_i 和 N_e 值代